

炭素繊維シートで補強したコンクリートの一軸圧縮性状

中日本建設コンサルタント 正員 大工 紗子 中部大学 正員 水野 英二
三重大学 正員 畑中 重光

1. まえがき

既存コンクリート構造物の耐震補強の必要性から高性能繊維補強材に属する炭素繊維シート(CFシート)を用いた補強方法の開発が推進されている。本研究では、CFシートで補強された円形および角形コンクリートの一軸圧縮特性を把握し、内部コンクリートへの拘束効果および破壊メカニズムを解析的に考察する。

2. 三次元有限要素解析の概要

本解析で用いた供試体の形状・寸法を図-1、円形の供試体概要を表-1、および角形供試体の概要を表-2に示す。供試体は断面内にて、一軸(重ね長さを考慮する場合の円形断面)または二軸(角形および円形断面)対称ならびに上下対称と仮定し、円形供試体には1/4部分または1/8部分、角形供試体には1/8部分を解析モデルとして用いた。本解析では、8節点アイソパラメトリック三次元ソリッド要素¹⁾を組み込んだ三次元有限要素プログラムFEAPを使用する。構成モデルとして、コンクリート部分にはひずみ軟化型構成モデル²⁾を採用し、CFシートは完全弾塑性体とした。コンクリートとCFシート間には、弹性的な付着要素を設けた。これは、CFシートからの拘束効果がエポキシ樹脂等によって緩和される効果を考慮するために導入した。CFシートおよび付着要素の特性を表-3に示す。付着要素の強度パラメータは、円形供試体2C00の解析値と実験値の応力-ひずみ関係から同定した。

3. 解析結果および考察

(1) 応力-ひずみ曲線(円形) : 2Cシリーズ供試体に対する応力-ひずみ曲線を図-2に示す。図から分かるように、重ね長さが30cmまではCFシート破断時の軸ひずみは0.012程度であるのに対し、重ね長さが40cm(完全2枚巻き)になると軸ひずみは0.015と1.25倍に増加する。

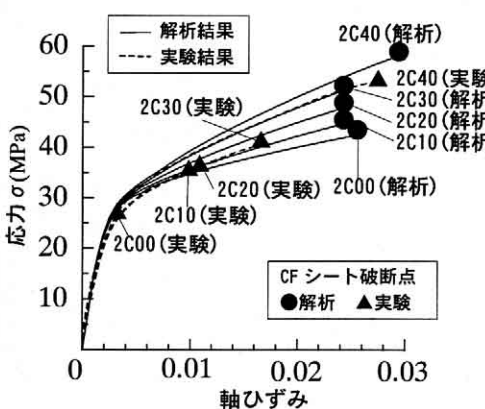


図-2 応力-ひずみ曲線(円形)

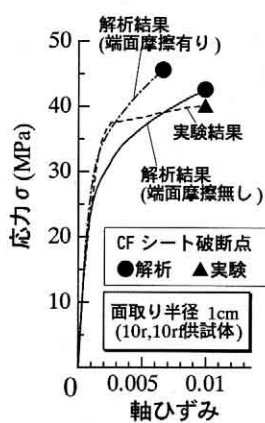
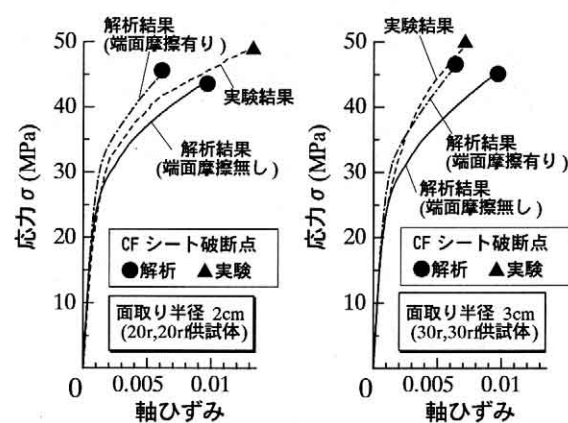


図-3 応力-ひずみ曲線(角形)



(2) 応力ーひずみ曲線(角形)：面取り半径の違いによる応力ーひずみ曲線を図-3に示す。実験は端面摩擦が存在する状態で載荷しており、一方、解析は端面拘束有りと無しで行っている。ここで、解析中の端面拘束有りとは、供試体端面の横方向の変形を完全拘束したのもであり、実験時の状態より拘束効果が大きい。実験結果は、端面拘束有りと無しとの条件下で得られた二種類の解析結果付近に位置している。また、面取り半径の増加に伴い炭素繊維シート破断時の軸ひずみが大きくなることが分かる。

(3) エネルギー吸収量：円形および角形供試体に対するCFシート破断時までのエネルギー吸収量の解析結果と実験結果との比較を図-4および図-5に示す。図-4では、重ね長さが40cm(完全2枚巻き)になると、重ね長さが0cm(完全1枚巻き)の場合と比較して吸収量が1.5倍程度増加することが解析結果から分かる。一方、実験結果では、重ね長さ30cmまでは、実験結果と解析結果との間に差が生じている。それゆえ、CFシートは2枚巻き以上が適切であるといえる。また、図-5より、角形供試体では、面取り半径の増加に伴い、エネルギー吸収量が1.5倍程度上昇することが実験結果から分かる。一方、解析結果では、面取り半径に拘わらずエネルギー吸収量はほぼ一定である。

(4) 等価拘束圧・損傷度：一例として、CFシート破断時における2C40供試体(円形)、20rおよび20rf供試体(角形)の等価拘束圧 σ_c および損傷度を図-6および図-7に示す各切断面にて考察する。等価拘束圧の進展図を図-8および図-9に示す。図中の σ_{LY} はCFシートからの計算拘束圧であり、円形では5.7MPa、角形は6.5MPaである。また、損傷度の進展図を図-10に示す。損傷度とは、現時点での強度パラメータ fp とその最大値(破壊時) $\eta_1 = 243.1$ との比で定義される。図中の「・」はコンクリート要素のガウス点が軟化領域にあることを示す。

(5) 考察：円形供試体では、シートを巻き付けた内部コンクリートにて損傷が最も進展しやすい状態となる(図-8および図-10(a))。角形供試体では、端面摩擦がある場合、上面が拘束されているため内部コンクリートの拘束圧および損傷度の進展が早くなり(図-9および図-10(b),(c))、内部ではせん断破壊が生じる(図-10(b))。また、隅角部での拘束圧が大きくなり、より円形に近い

形状の方が炭素繊維シートの巻き付けによるエネルギー吸収量、すなわち圧縮能が増大する。

参考文献

- Chen, W.F. and Mizuno, E. : Nonlinear Analysis in Soil Mechanics, Elsevier, 1990.
- 水野英二、森本康介、畠中重光：中心軸圧縮力を受けるコンファインドコンクリートの拘束効果に関する三次元FEM解析、コンクリート工学年次論文集、Vol.20-3, 85-90, 1999.

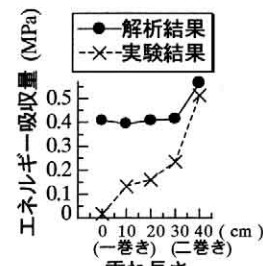


図-4 エネルギー吸収量(円形)

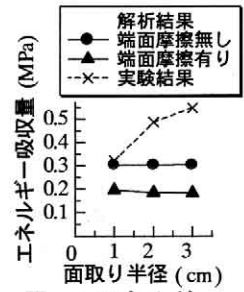


図-5 エネルギー吸収量(角形)

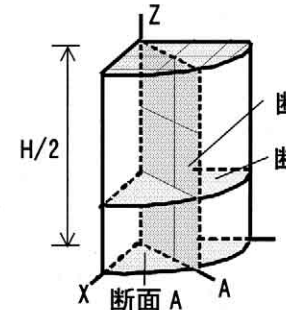


図-6 進展図の切断面 (円形; 1/8 モデル)

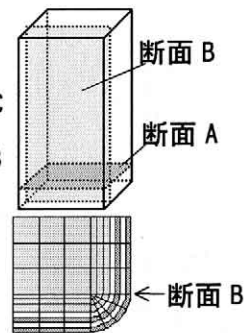


図-7 進展図の切断面 (角形; 1/8 モデル)

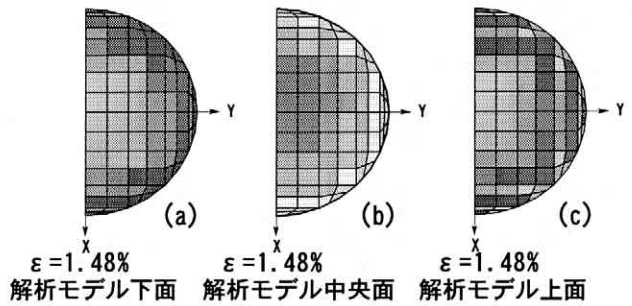


図-8 等価拘束圧の進展図(円形: 2C40)

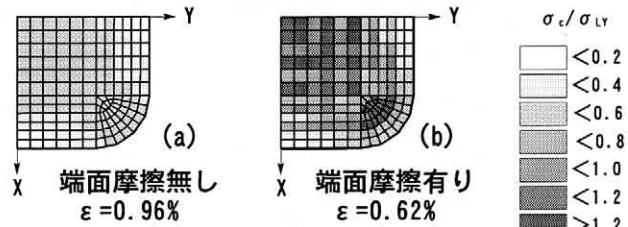


図-9 等価拘束圧の進展図(角形: r=2cm)

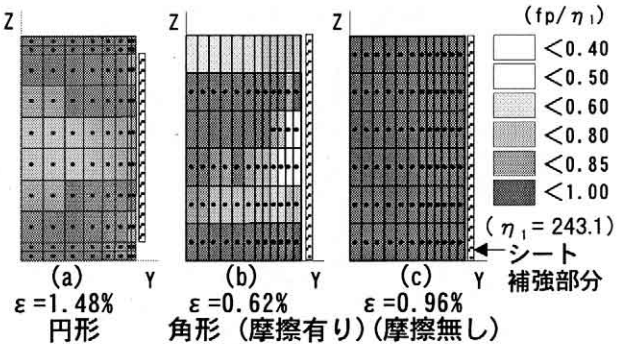


図-10 損傷度の進展図